

基于赋值技术的地形分析及应用

杨俊¹, 李雪铭¹, 王利¹, 祝国瑞²

(1. 辽宁师范大学 城市与环境学院, 辽宁 大连 116029; 2. 武汉大学 资源与环境学院, 湖北 武汉 430079)

Assigning Technology Based Terrain Analysis and Its Application

YANG Jun, LI Xue-ming, WANG Li, ZHU Guo-rui

摘要: 测绘部门的地形图数据大部分是以 AutoCAD 数据格式存储, 不支持属性数据查询, 更不能实现地形分析。AutoCAD 数据与 MapInfo 数据之间的通过 MapInfo, Vertical Mapper, MapBasic 结合以及赋值技术运用, 实现矢量数据与栅格数据的相互转换进而实现地形分析。

关键词: 地形分析; 赋值技术; 数字高程模型

一、引言

旅顺地区面积约为 505 km², 地形图数据是以 AutoCAD 数据格式存储的, 数据是海量数据。旅顺地区的 60 m 等高线以及坡度大于 25°区域要退耕还林。AutoCAD 要实现坡度等地形因子分析, 需要其他高级语言, 如 Visual C++ 对其进行二次开发, 难度大。如何快速高效地实现地形分析就显得十分重要。

利用 MapInfo, Vertical Mapper 以及 MapBasic 结合, 等高线批量赋值和单元赋值结合, 生成数字高程模型(DEM)。通过数字高程模型实现坡度、坡向、等值线、剖面分析、通视分析。

二、旅顺地区数字高程模型生成

地形分析是基于数字高程模型, 数字高程模型精度决定地形分析的精度。旅顺地区的地形图数据是 AutoCAD 存储的 dwg 数据, 不带有高程属性, 因此要把 dwg 转换为 MapInfo 中的 tab 文件。转化方法: 先把 dwg 文件另存为 dxf 文件, 通过 MapInfo 中的转入菜单把 dxf 转换为 MapInfo 格式的 tab 文件(见图 1)。

由于通过转入生成的等高线 tab 文件没有高程属性, 需要手动赋值。由于旅顺地区地形图等高距为 2.5 m, 而且等高线比较破碎, 手动工作量巨大。如何实现等高线批量赋高程值是最关键的问题。通过 MapBasic 编写的地形图等高线高程值程序, 能够较大缩短工作量, 提高工作效率。地形图等高线高程赋值的方法: 在打开等高线 tab 窗口下面, 用鼠标

划一条线, 判断所划线与等高线相交的次数, 同时弹出一个对话框。在对话框初始值行中输入第一根等高线的高程值, 在增量输入等高距后, 选中的等高线被赋上高程值, 赋值后的等高线有黑色变为红色^[2](如图 2)。

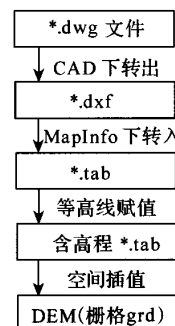


图 1 DEM 制作流程

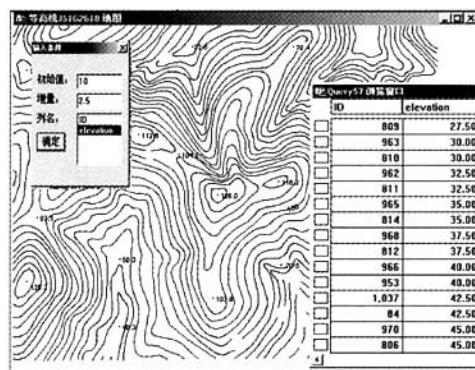


图 2 高程赋值

三、地形分析

通过生成 DEM，在 Vertical Mapper 下面就可以实现坡度、坡向、横剖面、通视以及等值线分析。由于 MapInfo 不能够对栅格属性操作，需要把栅格输出为 MapInfo 点 tab 的形式，再通过单元赋值技术把点 tab 的属性值赋给创建的 $25\text{ m} \times 25\text{ m}$ 的矢量

格网^[3~5]。单元赋值的方法：在 MapInfo 下面打开两个表，把一个区域较大的表的一列属性值赋予另一个表的一列并保存。在 MapInfo 打开坡度 *.tab、含高程 *.tab 以及 $25\text{ m} \times 25\text{ m}$ 格网，通过单元赋值程序把坡度、高程分别赋值给 $25\text{ m} \times 25\text{ m}$ 格网两列，如图 3 所示。

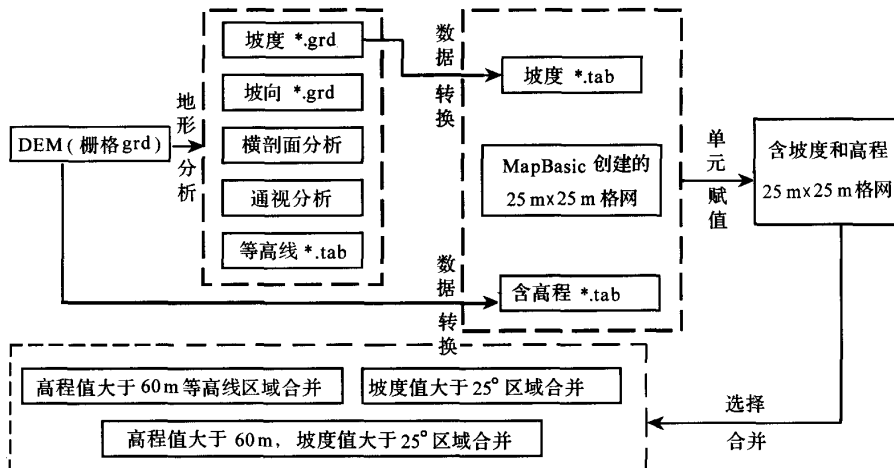


图 3 地形分析流程

四、结 论

通过 MapInfo、Vertical Mapper、MapBasic 的互操作以及赋值技术运用，实现旅顺地区的地形分析，提取 25 m 等高线以及坡度大于 25° 区域要退耕还林的耕地。MapInfo、Vertical Mapper、MapBasic 结合，对海量数据进行处理，实现地表的 3 维可视化，并且在 DEM 上进行地形分析，缩短海量数据地形分析的时间，节省人力和物力，有一定实用价值。

参考文献：

- [1] 李志林, 朱 庆. 数字高程模型 [M]. 武汉: 武汉大学出版社, 2003. 216-238.
 - [2] 王晓武, 程宗敏, 杜兴国. MapBasic 程序设计 [M]. 北京: 电子工业出版社, 2000. 88-113.
 - [3] 徐庆荣, 杜道生, 黄 伟, 等. 计算机地图制图原理 [M]. 武汉: 武汉测绘科技大学出版社, 1993. 36-38.
 - [4] 叶为民, 张玉龙, 朱合华, 等. 地理信息系统中的栅格结构与矢量结构 [J]. 同济大学学报(自然科学版), 2002, 30(1): 101-105.
 - [5] 阎国年, 钱亚东, 陈钟明. 基于栅格数字高程模型提取特征地貌技术研究 [J]. 地理学报, 1998, 53(6): 562-569.
 - [6] 李全信. 复合 Simpson 公式在线路中边桩坐标计算中的应用 [J]. 测绘工程, 2001, (3).
 - [7] 李全信. 线路中边桩坐标计算的通用 Gauss-Legendre 公式 [J]. 工程勘察, 2002, (3).
 - [8] 李全信. 线路平行线间面积的计算及应用 [J]. 勘察科学与技术, 1997, (5).
 - [9] 耿新田, 田海勇. 缓和曲线边界的面积计算方法 [J]. 城市勘测, 2001, (2).
- (上接第 23 页)
- [2] 李全信, 陈华远. 缓和曲线平行线的弧长计算及其性质问题 [J]. 城市勘测, 1996, (3).
 - [3] 李全信. 构筑物穿过道路曲线平行线时交点坐标的严密解算及程序 [J]. 四川测绘, 2001, (2).
 - [4] 李全信, 张予东. 直线与线路曲线交点坐标及里程的通用解算方法 [J]. 铁路航测, 2002, (1).
 - [5] 李全信. 线路中线坐标计算的通用数学模型 [J]. 勘察科学技术, 2001, (5).